

Оглавление

Предисловие к изданию на русском языке	7
Предисловие к четвертому изданию	
на английском языке.	8
Предисловие к первому изданию	
на английском языке.	9
Список сокращений и условных обозначений.	10

ЧАСТЬ I

ГРУДЬ

У. Ричард Вэбб

Глава 1. Введение в компьютерную томографию органов груди: методика исследования	13
Глава 2. Средостение: общие сведения и нормальная анатомия	21
Глава 3. Средостение: сосудистые заболевания и тромбоэмболии легочной артерии	35
Глава 4. Средостение: патологические изменения лимфатических узлов и новообразования.	61
Глава 5. Корень легкого.	90
Глава 6. Заболевания легких	113
Глава 7. Плевра, грудная стенка и диафрагма	161

ЧАСТЬ II

ЖИВОТ И ТАЗ

Уильям Э. Брант

Глава 8. Введение в компьютерную томографию органов живота и таза	183
--	-----

Глава 9. Брюшная полость, сосуды, лимфатические узлы и брюшная стенка	191
Глава 10. Травма живота	212
Глава 11. Печень.	228
Глава 12. Желчные протоки и желчный пузырь	261
Глава 13. Поджелудочная железа.	274
Глава 14. Селезенка.	294
Глава 15. Почки и мочеточники	305
Глава 16. Надпочечники	340
Глава 17. Желудочно-кишечный тракт	355
Глава 18. Полость таза	395

ЧАСТЬ III

ОПОРНО-ДВИГАТЕЛЬНЫЙ АППАРАТ

Нэнси М. Мэйджор

Глава 19. Компьютерная томография в диагностике травм опорно-двигательного аппарата.	419
Глава 20. Компьютерная томография в диагностике нетравматических поражений опорно-двигательного аппарата.	429
Глава 21. Случайные находки	446
Предметный указатель	454

Средостение: общие сведения и нормальная анатомия

У. Ричард Вэбб

КТ широко используется для диагностики новообразований средостения и патологии расположенных в нем сосудов (например, аневризмы аорты). Необходимость проведения КТ возникает главным образом в двух ситуациях.

В первом случае патологические изменения средостения выявляются у пациента при рентгенографии; при этом КТ почти всегда является предпочтительным методом визуализации. У пациентов с выявленным на рентгенографии новообразованием КТ позволяет подтвердить факт его наличия (изменения контуров средостения на рентгенограммах не всегда соответствуют реально существующей патологии); уточнить локализацию и взаимоотношения с окружающими, в том числе сосудистыми, структурами; выявить сопутствующие изменения; определить структуру новообразования как солидную, кистозную, сосудистую, усиливающуюся, кальцинированную, негомогенную или жировую. Несмотря на то что КТ может не дать точного ответа на вопрос о природе новообразования, это исследование способствует значительному сокращению дифференциально-диагностического ряда, что, в свою очередь, позволяет определиться со следующим шагом, будь то биопсия, медиастиноскопия, артериография или отсутствие действия.

Во втором случае КТ средостения проводится у пациента с нормальной рентгенографической картиной, но с клиническими признаками заболевания средостения. Так, у больных раком легких при проведении КТ часто выявляют медиастинальные лимфатические узлы, которые остаются незамеченными на рентгенограммах. Другим примером могут служить пациенты с миастенией, которая приблизительно в 15% случа-

ев ассоциирована с тимомой, выявляемой на КТ и не определяющейся на рентгенограммах.

НОРМАЛЬНАЯ АНАТОМИЯ СРЕДОСТЕНИЯ

Средостение представляет собой пространство, расположенное между легкими, покрытое по бокам медиастинальной плеврой, ограниченное спереди грудиной и передней грудной стенкой, сзади — позвоночником и задней грудной стенкой. Средостение содержит в себе сердце, крупные сосуды, трахею, пищевод, вилочковую железу, жировую ткань и множество лимфатических узлов, сгруппированных в определенных областях. Многие из этих структур могут быть надежно идентифицированы при проведении КТ по их расположению, внешнему виду и плотности.

Для удобства интерпретации данных КТ средостение может быть условно поделено на три почти равные части, причем каждая из них у взрослого человека при проведении КТ представлена приблизительно 15 прилежащими срезами толщиной 5 мм. В связи с отсутствием общепринятых анатомических названий их можно обозначить так.

- Супрааортальная часть средостения:* от верхней апертуры грудной клетки до верхушки дуги аорты.
- Субаортальная часть средостения:* от дуги аорты до верхнего края сердца.
- Паракардиальная часть средостения:* от уровня сердца до диафрагмы.

В каждом из этих отделов у каждого пациента последовательно должны оцениваться определенные структуры. Описание нормальной анатомии, представленное ниже, нельзя назвать

исчерпывающим, тем не менее оно затрагивает наиболее важные структуры средостения. С опытом круг оцениваемых структур может расширяться; главной же целью данной главы является представление общего подхода к визуализации средостения.

Супрааортальная часть средостения

Оценку этой части средостения лучше всего начинать с выявления *трахеи* (рис. 2.1, A). Трахею можно легко распознать на томограммах по содержащемуся в ней воздуху, а также благодаря тому, что она пересекает плоскость сканирования почти под прямым углом и имеет на изображениях окружную или овальную форму. Она располагается относительно центрально в средостении как по фронтальной, так и по сагиттальной оси, что делает ее удобной опорной точкой. Множество других структур средостения демонстрируют устойчивое расположение относительно трахеи. Если вы не можете найти трахею на томограммах в этой части средостения, я предложу вам не читать далее.

На уровне верхней апертуры грудной клетки или рядом с ней средостение имеет относительно небольшие размеры в сагиттальной плоскости. На этом уровне *пищевод* лежит позади трахеи (рис. 2.1), однако в зависимости от расположения трахеи относительно позвоночника пищевод может быть смешен в ту или иную сторону, чаще влево. Пищевод, как правило, находится в спавшемся состоянии и имеет на КТ-изображениях уплощенную форму и мягкотканную плотность. Однако иногда в его просвете можно визуализировать небольшое количество воздуха или жидкости. В супрааортальной части средостения легко распознать крупные артериальные ветви дуги аорты и магистральные вены. На уровне верхней апертуры грудной клетки сбоку и кпереди относительно остальных сосудов, непосредственно за головками ключиц, располагаются *плечеголовные вены* (см. рис. 2.1, A, Б). В то время как их размеры могут варьироваться у разных пациентов, расположение является относительно постоянным. Крупные артериальные стволы (безымянная, левая сонная и левая подключичная артерии) располагаются позади вен и прилегают к передней и боковым поверхностям трахеи. Они могут

быть надежно идентифицированы по своему расположению.

Ниже апертуры грудной клетки кпереди от ветвей аорты левая плечеголовная вена пересекает средостение слева направо (см. рис. 2.1, В) и сливается с правой плечеголовной веной, тем самым формируя *верхнюю полую вену* (ВПВ) (см. рис. 2.1, В–Д). Левая подключичная артерия располагается сзади, прилегая к левой поверхности трахеи на уровне 3–4 ч условного циферблата. *Левая сонная артерия*, положение которой довольно вариабельно, как правило, располагается спереди от левой подключичной на уровне 1–2 ч условного циферблата. *Безымянная артерия* обычно лежит кпереди и правее трахеи (на уровне 11–12 ч условного циферблата), однако ее расположение значительно варьирует на разных уровнях и у разных пациентов.

Вблизи места отхождения от дуги аорты безымянная артерия обычно имеет овальное сечение и несколько превосходит остальные ветви аорты по размерам. На более высоких уровнях сечение безымянной артерии может иметь овальную или эллиптическую форму вследствие изменения ориентации сосуда или разветвления на правую подключичную и правую сонную артерии. Безымянная артерия может быть довольно извитой и в этом случае иметь на изображениях двойное сечение, если оба отрезка U-образной части сосуда попадают в одну плоскость среза. В случае возникновения каких-либо сомнений при идентификации безымянной артерии ее можно проследить от устья до точки выхода из грудной клетки.

Помимо крупных сосудов, трахеи и пищевода в супрааортальной части средостения визуализируется не так много структур. Среди них – единичные лимфатические узлы, иногда выявляемые на этом уровне, а также мелкие сосуды, главным образом внутренние грудные вены. У некоторых пациентов в супрааортальную часть средостения может проникать *щитовидная железа*, правая и левая доли которой могут располагаться по обе стороны от трахеи. Подобное распространение не следует трактовать как проявление патологического увеличения щитовидной железы или загрудинного зоба. Щитовидную железу на КТ-изображениях легко отличить от остальных структур благодаря относительно высокой плотности (вследствие содержания йода).

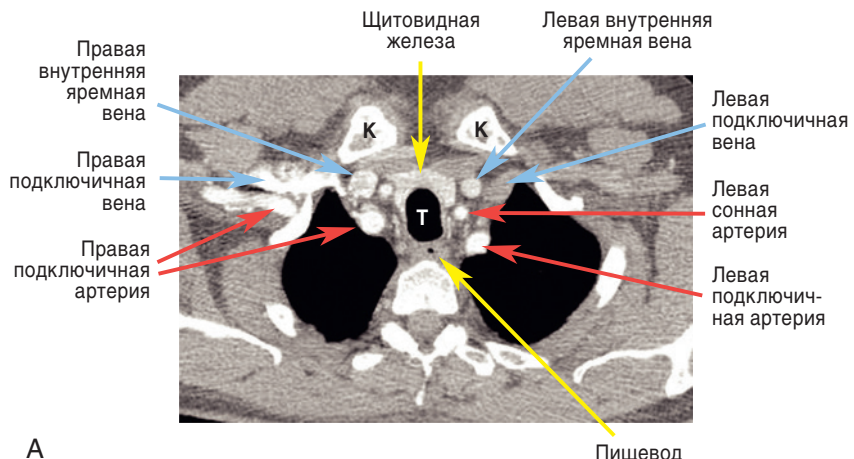
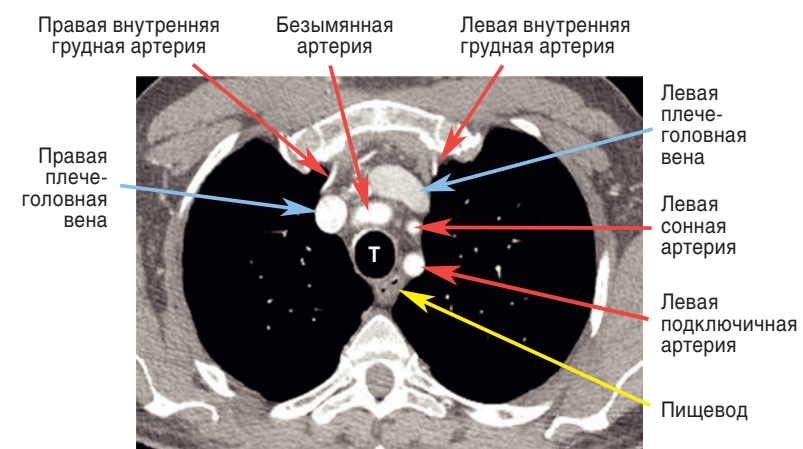
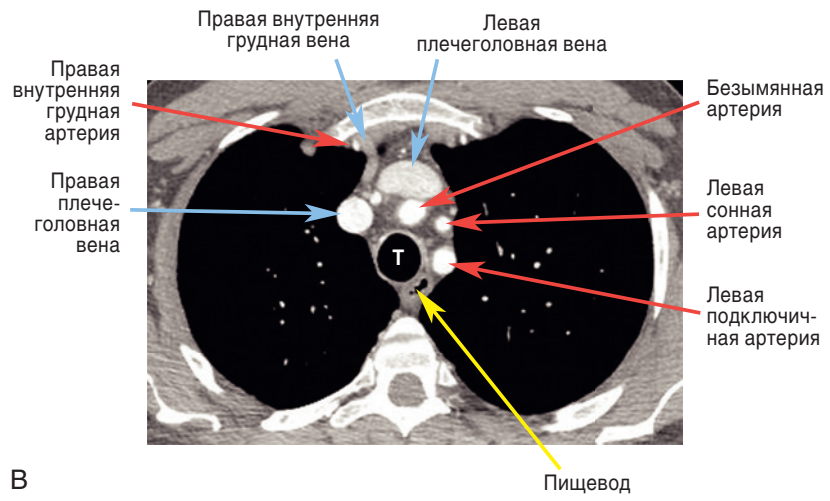


РИС. 2.1. Супрааортальная часть средостения. Компьютерная томография с контрастным усилением, толщина среза 1,25 мм. А. В области верхней апертуры грудной клетки четко прослеживаются трахея (T) и расположенный позади и немного левее нее пищевод с наличием воздуха в его просвете. Правая и левая подключичные и внутренние яремные вены расположены по обе стороны от них и более вентрально, позади ключиц и их головок (K). Также на этом уровне в подмышечной впадине визуализируются подмышечные вены. По обе стороны от трахеи пролегают магистральные артерии (правая сонная, правая подключичная, левая сонная, левая подключичная). По передней и боковым поверхностям трахеи располагается щитовидная железа, гипердесинвивная относительно остальных мягкотканых структур за счет содержания йода. Б. Немного ниже уровня А вентрально прослеживаются брахиоцефальные вены. Крупные ветви аорты залегают позади левой плечеголовной вены. Наиболее дорсально расположенная левая подключичная артерия располагается сбоку от левой поверхности трахеи, на уровне 3–4 ч, примыкая к медиастинальной плевре. Обычно вариабельная по расположению левая сонная артерия определяется спереди от левой подключичной, на уровне 2 ч. Безымянная артерия располагается, как правило, спереди и правее срединной линии трахеи. С обеих сторон визуализируются внутренние грудные артерии. В. Ниже уровня Б левая плечеголовная вена пересекает средостение слева направо, в то время как подключичная, сонная и безымянная артерии сохраняют свое относительное расположение. Правая внутренняя грудная вена визуализируется в месте своего отхождения от правой плечеголовной вены. Контрастированные внутренние грудные артерии прослеживаются сбоку от внутренних грудных вен с обеих сторон. В просвете пищевода определяется небольшое количество воздуха.

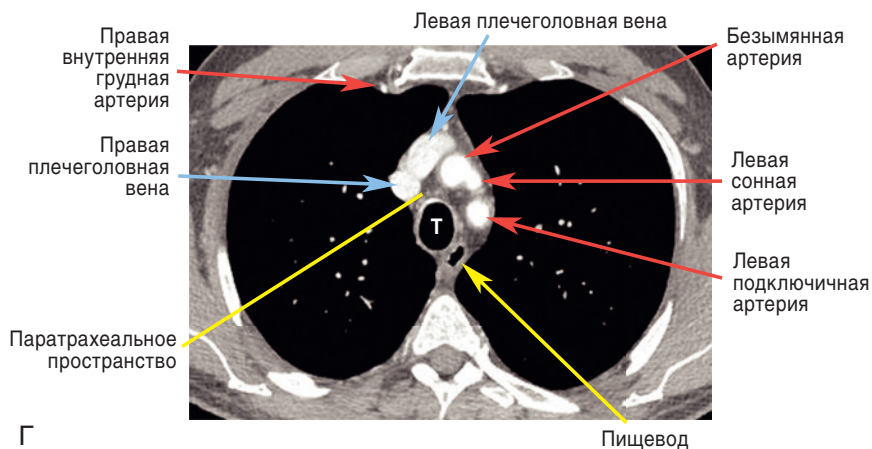
А



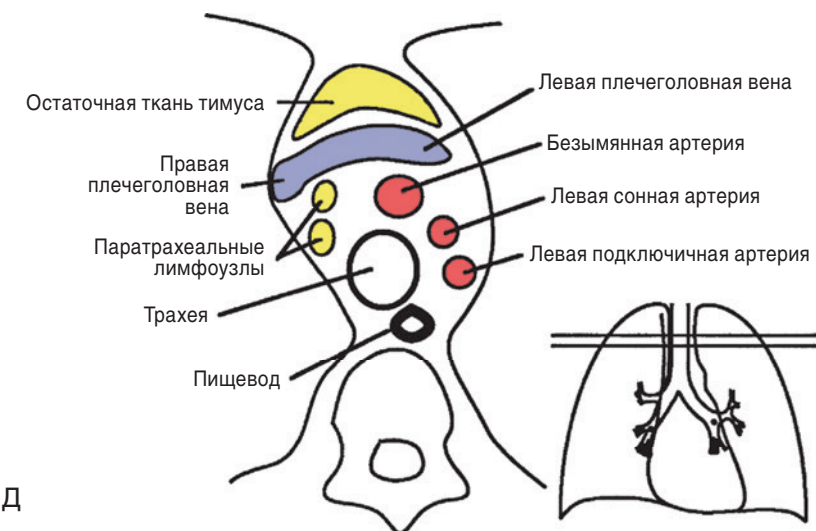
Б



В



Г



Д

РИС. 2.1. Окончание. Г. Ниже уровня В сливающиеся правая и левая плечеголовные вены образуют верхнюю полую вену. Четко прослеживаются крупные ветви аорты. Между трахеей и сосудами располагается паратрахеальное пространство, заполненное жировой клетчаткой. Д. Схематичное изображение супрааортальной части средостения на уровне Г. Указана локализация паратрахеальных лимфатических узлов и остаточной паренхимы тимуса, четко не определяющихся на изображении Г. Горизонтальными линиями обозначен приблизительный уровень сканирования, соответствующий изображению Г.

Субаортальное средостение

Субаортальная часть средостения, как и супрааортальная, у взрослых при проведении КТ представлена приблизительно 15 смежными срезами толщиной 5 мм, проведенными от уровня дуги аорты до верхней границы сердца (рис. 2.2). В отличие от супрааортальной части, содержащей главным образом ветви аорты и корни ВПВ, субаортальная часть средостения включает сами магистральные сосуды, такие как аорта, ВПВ и легочные артерии. Также в ней содержится большинство наиболее важных групп лимфатических узлов, изменения которых встречаются при раке легкого, инфекционных заболеваниях, саркоидозе или лимфоме. Другими словами, именно на этом уровне при проведении КТ чаще всего можно выявить патологические изменения.

На некоторых основных уровнях субаортального средостения необходимо остановиться более подробно.

Уровень дуги аорты

Найти дугу аорты на изображениях верхних отделов субаортального средостения не представляет сложности благодаря ее характерному, хотя и несколько вариабельному внешнему виду (см. рис. 2.2, А). Передний отрезок дуги аорты располагается спереди трахеи, собственно дуга находится левее трахеи, а задний ее отрезок обычно лежит кпереди и сбоку от позвоночного столба. Обычно диаметры дуги аорты приблизительно равны в передней и центральной ее частях, в то время как задний отрезок, как правило, несколько меньше. Расположение переднего

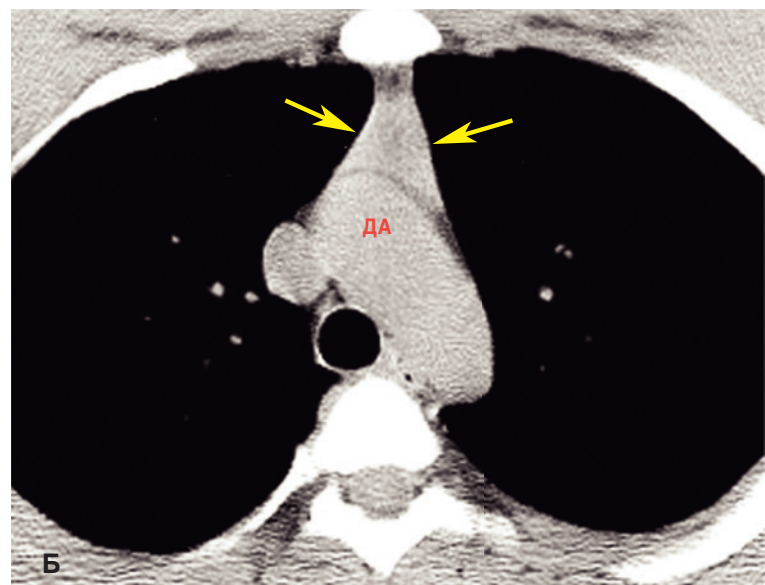
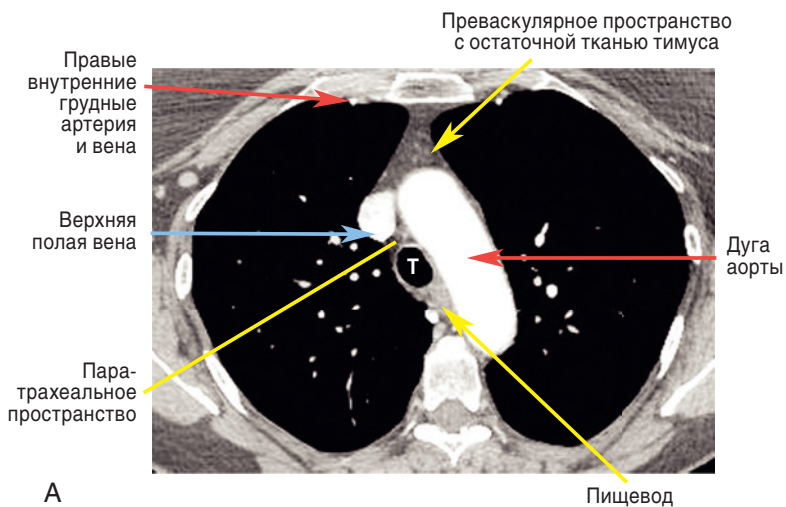
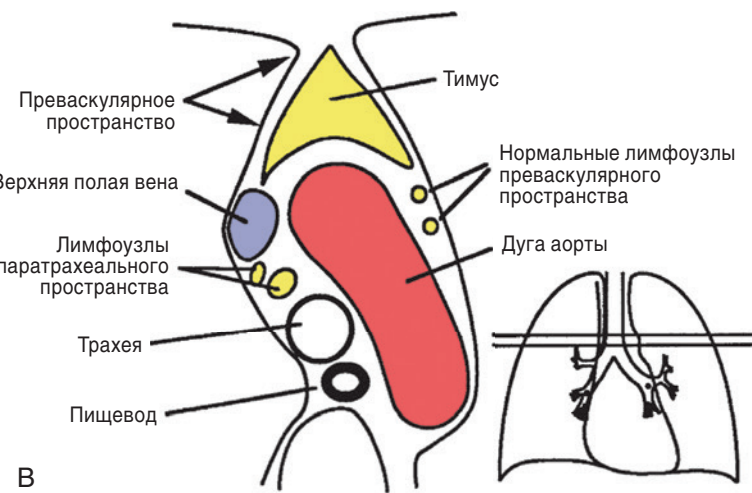


РИС. 2.2. Субаортальная часть средостения. Компьютерная томография с контрастным усиливанием, толщина среза 1,25 мм. Уровень дуги аорты. А. Дуга аорты, передние отделы которой располагаются спереди от трахеи (Т), направляется левее, пролегая в задней части спереди и сбоку от позвоночного столба. Верхняя полая вена прилегает к медиастинальной плевре, совместно с дугой аорты ограничивая передние отделы паратрахеального пространства. Преваскулярное пространство расположено спереди от магистральных сосудов и содержит тимус, паренхима которого в значительной степени замещена жировой тканью у данного пациента. Б. Пациент, 21 год. Нормальная паренхима вилочковой железы, обладающая мягкотканной плотностью (стрелки), занимает большую часть преваскулярного пространства. Тимус отделен от дуги аорты (ДА) прослойкой жировой ткани. В. Схематичное изображение средостения на уровне дуги аорты



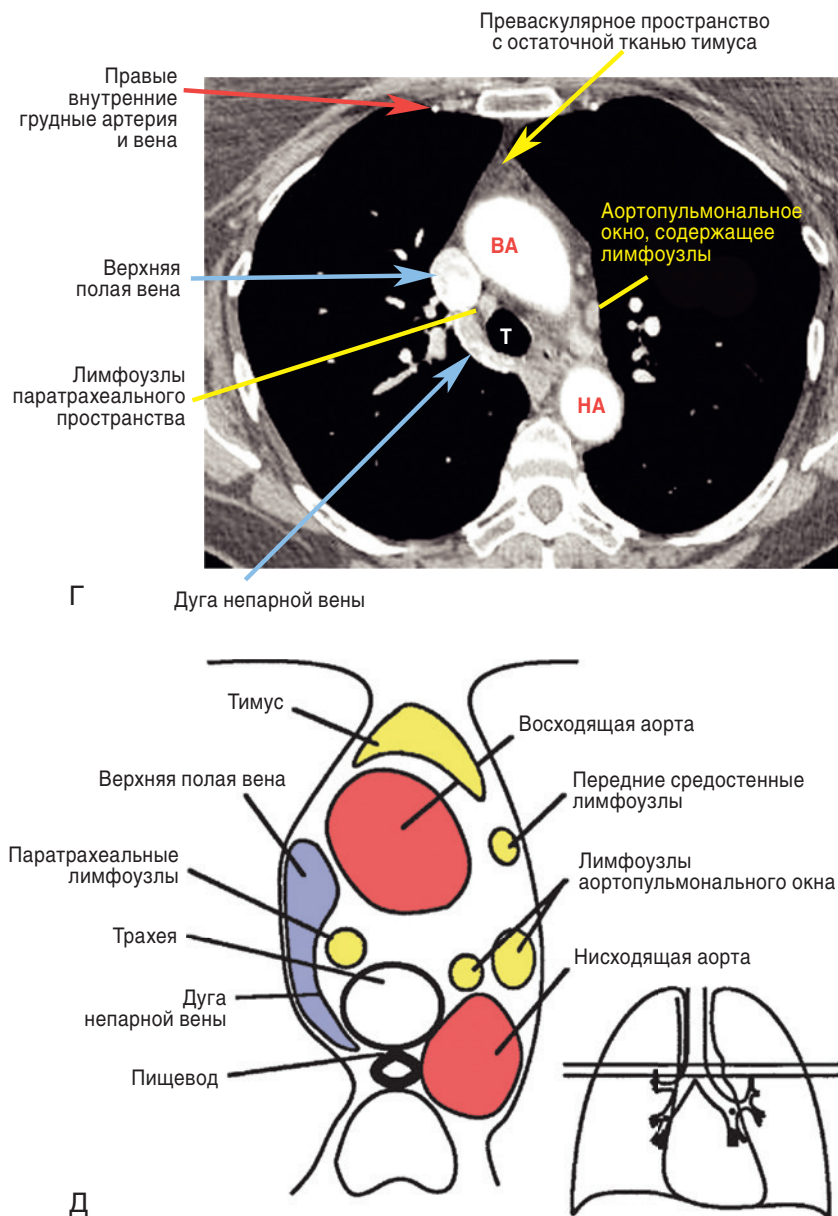


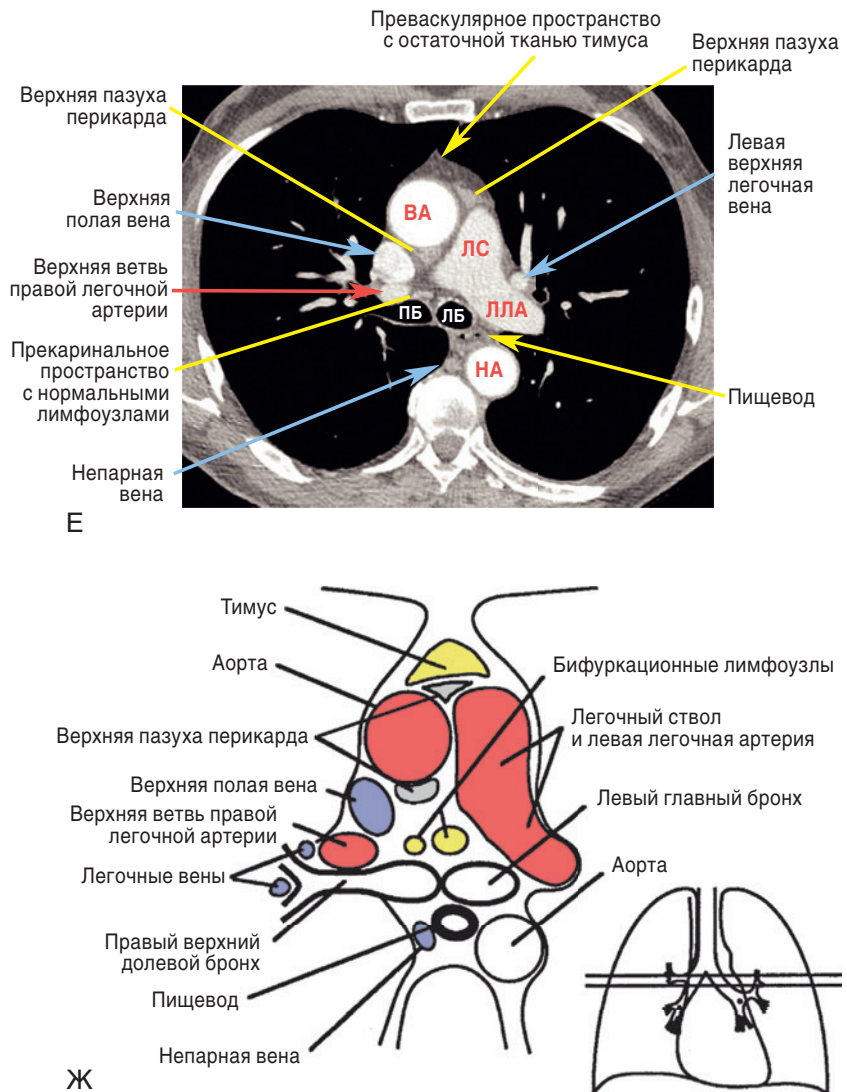
РИС. 2.2. Продолжение. Уровень непарной вены и аортопульмонального окна. Г. На данном уровне дуга непарной вены примыкает к правой медиастинальной плевре и образует боковую границу паратрахеального пространства, сливааясь с верхней полой веной. Жировая ткань, определяющаяся в пространстве между дугой аорты и легочным стволом, относится к аортопульмональному окну, содержащему, как и паратрахеальное пространство, лимфатические узлы. ВА — восходящая аорта; НА — нисходящая аорта; Т — трахея. Д. Схематичное изображение средостения на уровне непарной вены и аортопульмонального окна

и заднего отрезков дуги аорты может отличаться от вышеописанного при наличии атеросклероза и извитости аорты; у пациентов с извитостью аорты передняя часть дуги смешена кпереди и вправо, а задняя — больше сбоку и кзади, расположаясь слева от позвоночника.

На этом уровне ВПВ визуализируется спереди и справа от трахеи и имеет чаще всего овальное сечение (см. рис. 2.2, А–Б). Пищевод выглядит так же, как и в супрааортальной части средостения, однако положение его вариабельно. Чаще

всего он лежит несколько слева от средней линии трахеи (и, разумеется, позади него).

Треугольное пространство с вершиной, обращенной вперед, ограниченное дугой аорты слева, ВПВ и медиастинальной плеврой справа и трахеей сзади, носит название *претрахеального*, или *переднего паратрахеального* пространства (см. рис. 2.2, А, Б). Это пространство, заполненное жировой клетчаткой, имеет важное значение, поскольку содержит срединные лимфатические узлы паратрахеальной цепочки, наиболее часто



вовлекающиеся в различные патологические процессы. Именно эта область должна быть ис- следована в первую очередь, если речь идет о выявлении лимфаденопатии. Прочие лимфати- ческие узлы средостения тесно связаны с данной группой как в пространственном, так и в дренаж- ном отношении. Нередко в паратрахеальном про- странстве можно увидеть несколько лимфатиче- ских узлов нормальных (менее 1 см по короткой оси) размеров (для более детального обсуждения медиастинальной лимфаденопатии см. главу 4).

Впереди от магистральных сосудов (аорты и ВПВ) находится еще одно, несколько ме- нее очевидное треугольное пространство, на-

зывающееся *преваскулярным* пространством (см. рис. 2.2, А–В). Эта область представляет собой переднее средостение и содержит вилоч- ковую железу, лимфатические узлы и жировую клетчатку. Вершиной треугольника является передняя средостенная линия соединения, ино- гда визуализируемая на рентгенограммах груд- ной клетки.

У молодых пациентов, как правило, подрост- ков или взрослых до 25 лет, на КТ-изображениях *вилочковая железа (тимус)* выглядит как мягко- тканная билобарная структура в форме наконеч- ника стрелы. Каждая из двух долей тимуса приле- жит к медиастинальной плевре и имеет в среднем

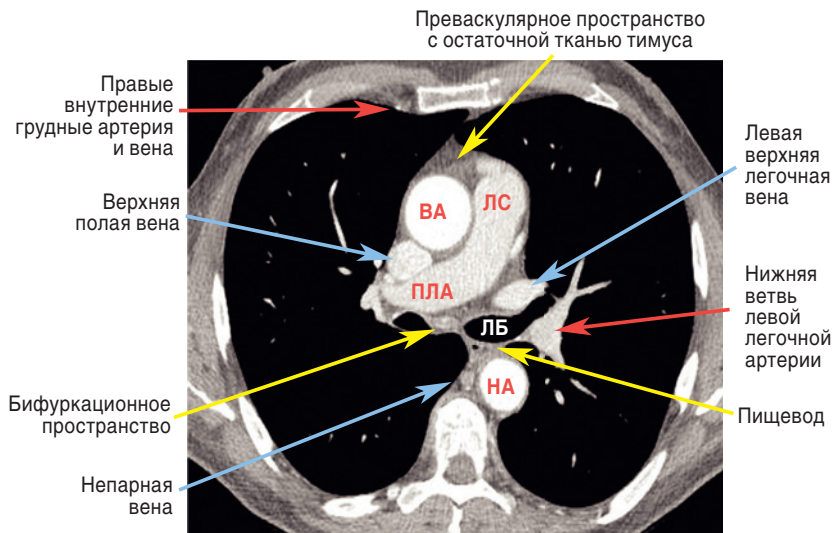


РИС. 2.2. Окончание. З и И. Томограмма и схема средостения ниже бифуркации трахеи, на уровне правой легочной артерии и азигоэзофагеального синуса. Правая легочная артерия (ПЛА) пересекает средостение, заполняя собой паратрахеальное и прекаринальное пространство. Небольшое количество жировой ткани и нормальных лимфатических узлов определяется в межбронхиальном пространстве, несколько вентральнее пищевода, непарной вены и азигоэзофагеального синуса. Последний имеет вогнутый латеральный контур, при этом медиастинальная плевра тесно контактирует с непарной веной и пищевodem. Некоторые структуры, обозначенные на схеме, не определяются на томограмме. ВА – восходящая аорта, НА – нисходящая аорта, ЛБ – левый главный бронх, ЛС – легочный ствол.

толщину 1–2 см (по перпендикуляру к плевре), варьируя в широких пределах (см. рис. 2.2, Б). С возрастом происходит инволюция тимуса и замещение его паренхимы жировой тканью. У пациентов старше 30 лет преваскулярное пространство заполнено преимущественно жировой тканью, пересекаемой тонкими мягкотканными перегородками. Большая часть этого содержимого, включая жировую ткань, представляет собой тимus. На более высоких уровнях преваскулярного пространства вилочковая железа иногда визуализируется спереди плечеголовных артерий и вен.

Уровень дуги непарной вены и аортопульмонального окна

Ниже уровня дуги аорты ее восходящая и нисходящая части визуализируются как две отдельные структуры. Для восходящей аорты характерны несколько большие размеры в диаметре (25–35 мм) по сравнению с нисходящей (20–30 мм).

По правой стороне, к задней стенке ВПВ подходит дуга *непарной вены*, перекидывающаяся через правый главный бронх (поэтому она видна на более высоких уровнях, чем сам бронх); на нижележащих уровнях непарная вена продолжает-

ется сзади вдоль средостения, располагаясь кпереди и справа от позвоночника (см. рис. 2.2, Г, Д). Дуга непарной вены часто визуализируется на одном или двух смежных срезах, изредка проявляясь на изображениях округлым новообразованием, однако ее характерное расположение позволяет правильно идентифицировать эту структуру. В случае когда дуга непарной вены четко определяется, она подчеркивает правую границу паратрахеального пространства.

В левой части средостения, между дугой аорты и легочным стволом, находится область, называемая *аортопульмональным окном*. Она содержит жировую ткань, лимфатические узлы (центрального средостения), возвратный гортанный нерв и артериальную связку (последние две структуры, как правило, не визуализируются, хотя иногда на изображениях можно заметить кальцифицированную артериальную связку; см. рис. 2.2, Г, Д). Лимфатические узлы аортопульмонального окна свободно сообщаются с лимфатическими узлами паратрахеального пространства, и в действительности разграничить медиальные лимфатические узлы аортопульмонального окна и лимфатические узлы левой части паратрахеального пространства бывает сложно. У некоторых пациентов легочный ствол располагается сразу под дугой аорты, и визуализация аортопульмонального окна может представлять определенные трудности. В таких случаях требуется особая осторожность в дифференцировке лимфатических узлов от проявлений частичного объемного усреднения прилежащих отделов аорты и легочной артерии; для этой цели могут быть использованы тонкие срезы.

Уровень легочных артерий, бифуркационного пространства и азигоэзофагеального синуса

На уровне или немного ниже аортопульмонального окна, где *восходящая аорта* впервые визуализируется в ортогональном сечении (то есть имеет в сечении круглую форму), часть перикарда, обычно содержащая небольшое количество перикардиальной жидкости, распространяясь вверх в паратрахеальное пространство, непосредственно позади восходящей аорты, образует так называемый *верхний заворот перикарда* (см. рис. 2.2, Е, Ж). Несмотря на то что иногда верхний заворот перикарда может имитировать на КТ-изображениях лимфатический узел, его

тическое расположение (непосредственно позади аорты, «обхватывая» ее стенку), овальная или серповидная форма, относительно низкая (жидкостная) рентгеновская плотность позволяют отличить его от патологического новообразования. Спереди от восходящей аорты и легочной артерии иногда можно визуализировать вторую часть перикардиального заворота (см. рис. 2.2, Е, Ж).

Приблизительно на этом уровне трахея делится на правый и левый главные бронхи, при этом на КТ-изображениях можно увидеть *карину* бифуркации трахеи (см. рис. 2.2, Е).

Ниже уровня бифуркации трахеи и дуги непарной вены (см. рис. 2.2, Е-И) медиальная часть правого легкого вдается в задние отделы центрального средостения, тесно прилегая к непарной вене и пищеводу. Эта область средостения, называемая *азигоэзофагеальный синус*, имеет особое значение благодаря прилежащим бифуркационным лимфатическим узлам и близкому расположению к пищеводу и главным бронхам. Азигоэзофагеальный синус у большинства людей в норме имеет вогнутый боковой контур; его выпуклость позволяет заподозрить наличие патологического процесса в этой области. Пристальный анализ изображений в медиастинальном окне позволяет в таких случаях определить природу подобных изменений. Если выпуклость бокового контура азигоэзофагеального синуса не связана с пищеводом или непарной веной, она трактуется как патологическая, при этом причиной ее чаще всего является увеличение бифуркационных лимфатических узлов.

Во многих случаях азигоэзофагеальный синус располагается несколько позади содержащего лимфатические узлы *бифуркационного пространства*. Лимфатические узлы данной области (бифуркационные) зачастую визуализируются в норме, поскольку имеют более крупные по сравнению с лимфатическими узлами других отделов средостения размеры, достигающие 1,5 мм по короткой оси. Сразу позади бифуркационного пространства визуализируется пищевод, отличить который от лимфатических узлов бывает затруднительно, если в его просвете не находятся воздух или контрастный агент. Ниже бифуркационного пространства азигоэзофагеальный синус имеет относительно постоянную форму, немного суживаясь в ретрокардиальной области.

Также на данном уровне *легочный ствол* разделяется на правую и левую легочные артерии.

Левая легочная артерия (см. рис. 2.2, E–II) располагается несколько выше, чем правая (обычно на 1 см), и является как бы продолжением легочного ствола, направляющимся назад и влево. *Правая легочная артерия* отходит от легочного ствола под углом приблизительно 90° и пересекает средостение спереди от карины и главных бронхов, фактически заполняя паратрахеальное пространство. В месте, где главные бронхи и легочные артерии покидают средостение, начинаются корни легкого (см. главу 5).

Паракардиальная часть средостения

В каудальных отделах средостения в различной мере можно проследить места впадения или отхождения магистральных сосудов от камер сердца. Хотя КТ не имеет широкого применения в диагностике заболеваний сердца [для этого, как правило, используют эхокардиографию или магнитно-резонансную томографию (МРТ)], элементарные представления о КТ-анатомии сердца могут оказать помощь в диагностическом процессе.

Легочный ствол, являющийся наиболее вентральным сосудом, исходит из правого желудочка, который виден на нижележащих уровнях спереди и справа от восходящей аорты или левого желудочка (рис. 2.3, A–B). ВПВ впадает в правое предсердие, имеющее овальную или серповидную форму. От вершины правого предсердия вперед направляется *ушко правого предсердия*, граничащее с правой медиастинальной плеврой.

Между правым предсердием и легочным стволом из левого желудочка исходит *корень аорты*. На этом уровне на фоне медиастинального жира визуализируются *коронарные артерии* (левая коронарная артерия, левая передняя нисходящая коронарная артерия, огибающая коронарная артерия и правая коронарная артерия), которые у взрослых пациентов могут быть в различной степени обызвествлены (см. рис. 2.3, A–B). *Левое предсердие* расположено сзади и обычно имеет на томограммах большие размеры, чем правое. Ушко левого предсердия направляется вперед и влево, располагаясь на границе с плеврой под левой легочной артерией. С каждой стороны можно увидеть впадающие в левое предсердие *верхнюю и нижнюю легочные вены* (рис. 2.3, A–D; глава 5).

На КТ-изображениях вблизи уровня купола диафрагмы *нижняя полая вена* (НПВ) представ-

ляет собой овальную структуру, направляющуюся к задним отделам правого предсердия (рис. 2.3, 3).

К другим структурам этого уровня средостения, требующим упоминания, относятся: пищевод, пролегающий ретрокардиально; непарная вена, положение которой соответствует таковому на более высоких уровнях; и полунепарная вена, имеющая меньший, чем у непарной вены, диаметр и располагающаяся с противоположной от нее стороны, позади нисходящей аорты. Паравертебральные лимфатические узлы, пролегающие совместно с непарной и полунепарной венами, в норме не визуализируются.

НОРМАЛЬНАЯ АНАТОМИЯ СЕРДЦА

Нативная КТ не дает возможности подробной оценки анатомии сердца, позволяя лишь разграничить его камеры благодаря присутствию эпикардиального жира. Конtrастное усиление помогает дополнительно дифференцировать различные структуры сердца, в зависимости от количества контрастного препарата и скорости его введения. После проведения контрастного усиления накопивший контрастный препарат миокард имеет меньший коэффициент поглощения, чем кровь в полостях сердца, вследствие чего он становится относительно гиподенсивным. Межжелудочковая перегородка обычно ориентирована на 2 ч условного циферблата и имеет выпуклый вперед контур за счет большего давления внутри левого желудочка (см. рис. 2.3, E–3). Боковая стенка левого желудочка приблизительно в 3 раза толще стенки правого желудочка, составляя 1–1,5 см.

Изучение анатомии сердца удобнее начинать с его верхушки. На этом уровне *левый желудочек* имеет форму овала, длинная ось которого направлена книзу и вперед (см. рис. 2.3, E–3). Поскольку давление в левом желудочке больше, чем в других камерах сердца, именно он преимущественно определяет анатомию сердца, в то время как остальные камеры формируются в соответствии с его конфигурацией. Вперед и правее располагается *правый желудочек*, имеющий треугольные очертания. На изображениях данного уровня или немного выше плоскость межжелудочковой перегородки, продолженная назад и вправо, отделяет нижние отделы *правого предсердия* (располагающегося спереди и латерально) от нижних отделов *левого предсердия* (располагающегося сзади). При

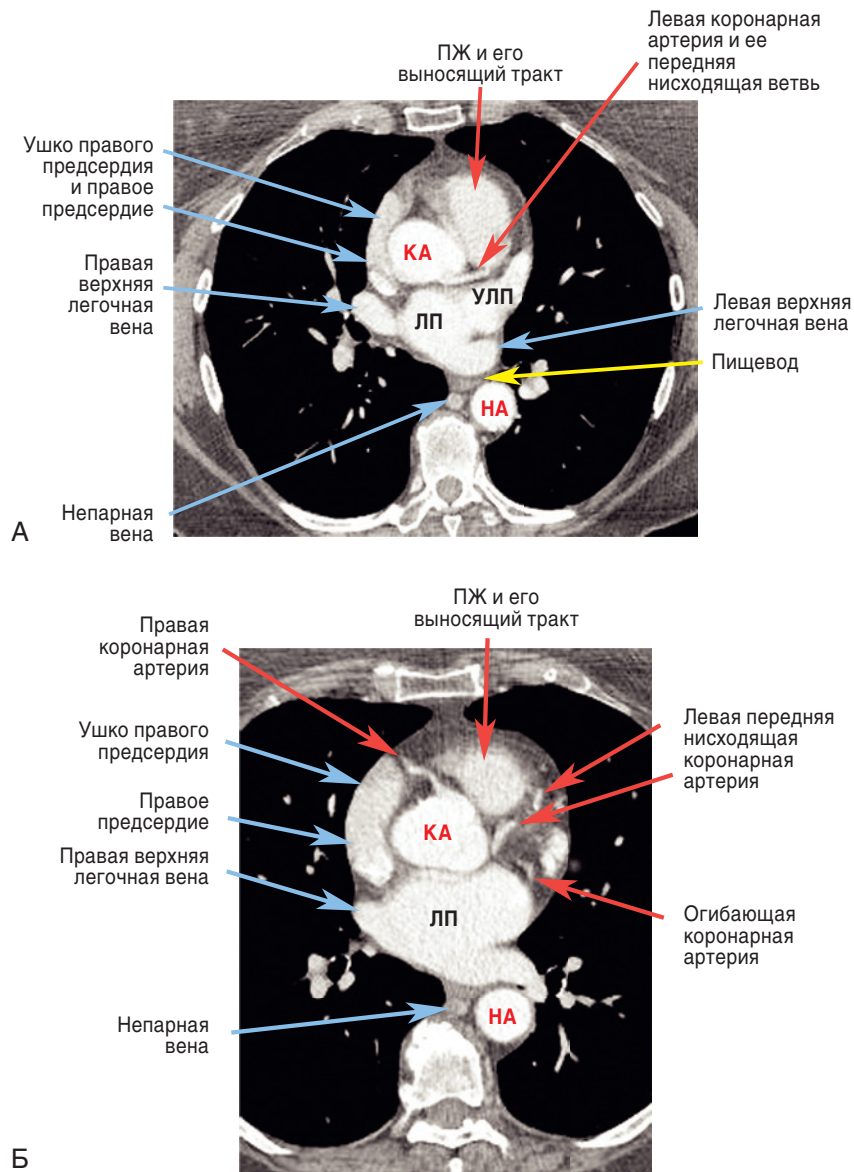


РИС. 2.3. Паракардиальная часть средостения. Компьютерная томография с контрастным усилением, толщина среза 1,25 мм. А. Наиболее краинально определяются места выхода аорты и легочного ствола; корень аорты (КА) располагается по центру. Выносящий тракт правого желудочка (ПЖ) или легочный ствол на данном уровне относительно корня аорты расположен спереди и слева. Правое предсердие и его ушко, направляющееся вперед, граничат с правой медиастинальной плеврой. На этом уровне верхние легочные вены, как правило, входят в верхние отделы левого предсердия (ЛП). Также визуализируется ушко левого предсердия (УЛП). На данном уровне определяется устье довольно короткой левой коронарной артерии, продолжающейся в переднюю нисходящую коронарную артерию. НА — нисходящая аорта. Б. Томографический срез, проведенный несколько ниже уровня А, демонстрирует место отхождения правой коронарной артерии и устья передней нисходящей и огибающей ветвей левой коронарной артерии

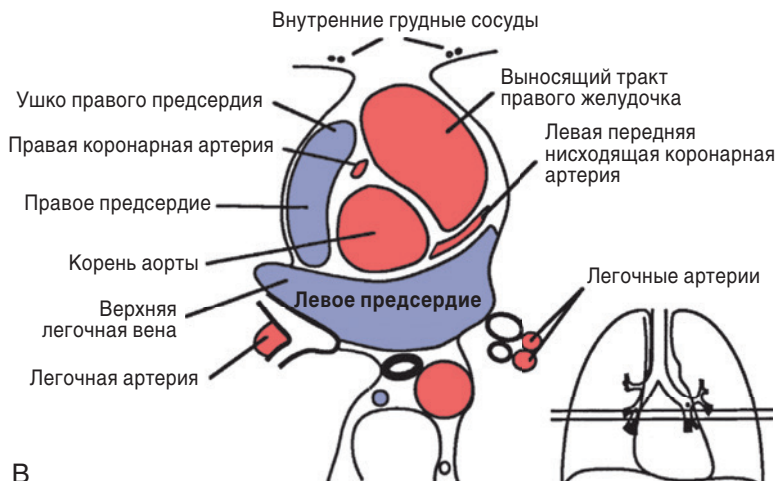
достаточном контрастном усилении камер сердца на данном уровне также можно визуализировать **митральный и трехстворчатые клапаны**.

На более высоких уровнях (см. рис. 2.3, А–Г) в центральных областях сердца располагаются **выносящий тракт левого желудочка и аортальный клапан**. Выносящий тракт правого желудочка направляется влево и визуализируется спереди или слева от выносящего тракта левого желудочка. Иными словами, вследствие скручивания сердечной трубки в процессе эмбрионального развития выносящий тракт левого желудочка направлен

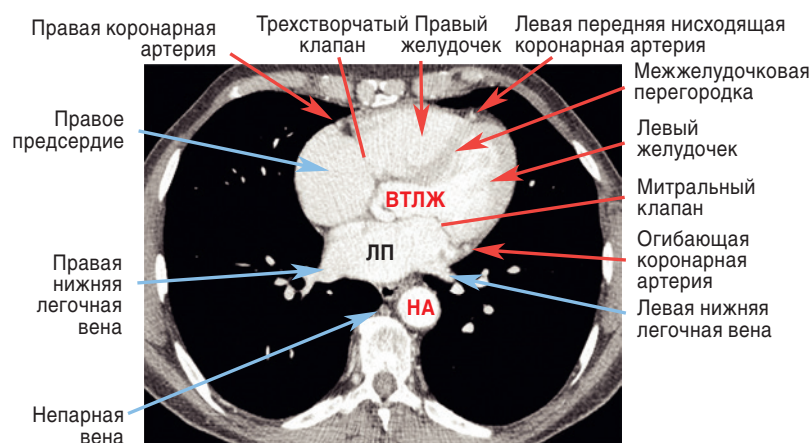
вправо, а выносящий тракт правого желудочка — влево. Это объясняет правостороннее расположение аорты и левостороннее — легочного ствола. На данном уровне у здоровых людей иногда могут визуализироваться аортальный и легочный клапаны.

Перикард

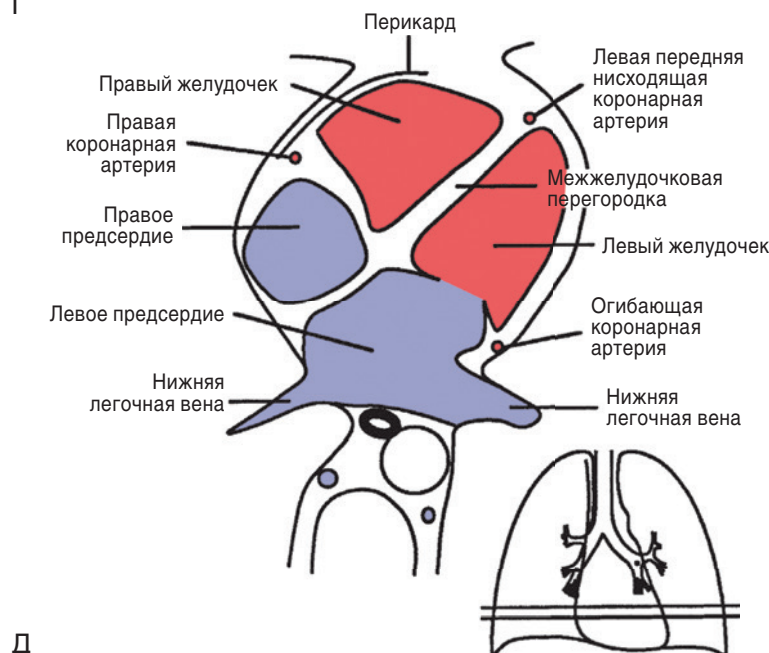
В норме *перикард* (его висцеральный и париетальный листки, а также перикардиальная жидкость) имеет вид полоски мягкотканной плотности толщиной 1–2 мм, располагающейся



В



Г



Д

РИС. 2.3. Продолжение. В. Схематическое изображение томограмм А и Б, В и Г. На нижележащем уровне визуализируются все четыре камеры сердца. Правый желудочек расположен спереди и справа от левого желудочка. Межжелудочковая перегородка и стенка левого желудочка имеют большую толщину, чем стенка правого желудочка. На томограмме определяются трехстворчатый и митральный клапаны, а также выносящий тракт левого желудочка (ВТЛЖ). ЛП – левое предсердие; НА – нисходящая аорта

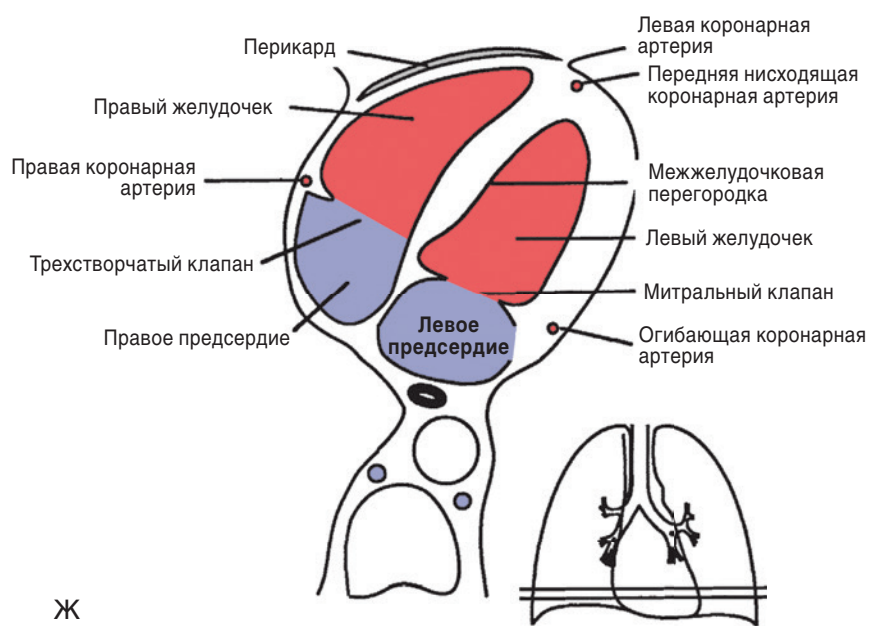
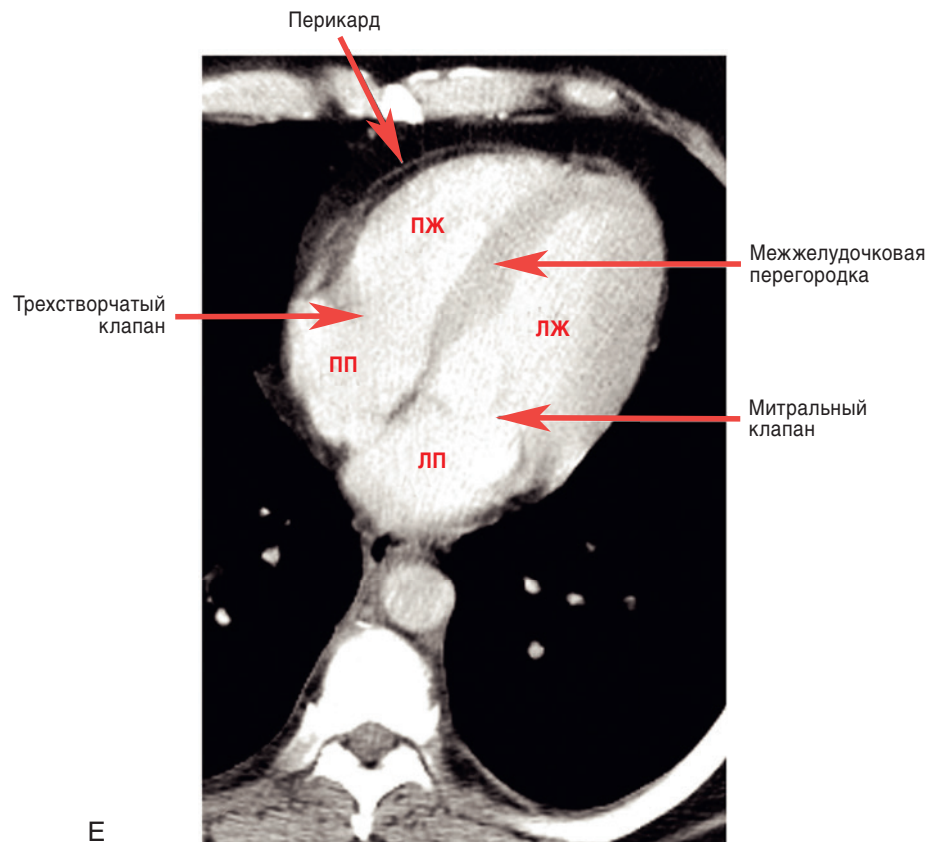
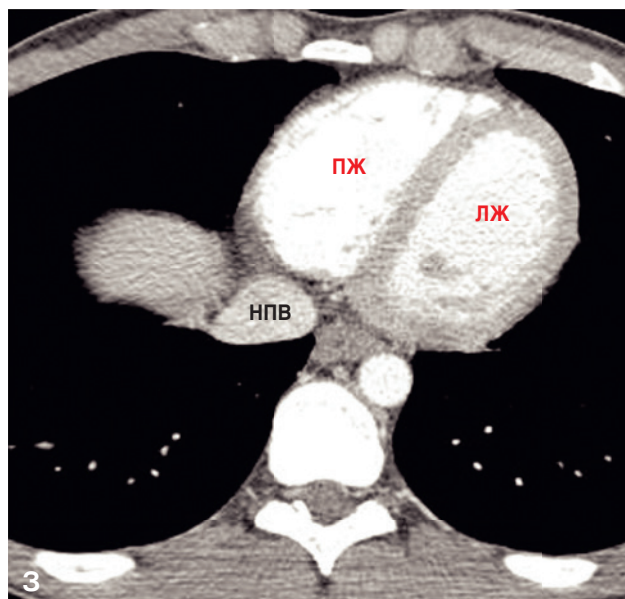


РИС. 2.3. Продолжение. Е и Ж. На данном уровне визуализируются все четыре камеры сердца, а также трехстворчатый и митральный клапаны. Межжелудочковая перегородка и боковая стенка левого желудочка (ЛЖ) имеют значительно большую толщину, чем стенка правого желудочка (ПЖ). Перикард на изображениях выглядит как тонкая линия, окруженная медиастинальным жиром; его толщина составляет 1–2 мм. ЛП — левое предсердие; ПП — правое предсердие



параллельно контурам сердца и окруженной медиастинальной (снаружи от перикарда) и эпикардиальной жировой клетчаткой. Лучше всего он визуализируется вблизи диафрагмы, вдоль передней и латеральных поверхностей сердца, где жировая клетчатка наиболее выражена (см. рис. 2.3, Е–Ж). В норме, как отмечалось выше, наблюдается распространение части перикарда в верхнее средостение.

ЗАГРУДИНОЕ ПРОСТРАНСТВО

В загрудинной области по обе стороны от грудины и на 1–2 см латеральнее ее поверхностей в норме (см. рис. 2.2, З) визуализируются *внутренние грудные артерии и вены* (одна артерия и две вены). Эти сосуды не имеют большого диагностического значения, несмотря на то что в случае обструкции ВПВ можно наблюдать их расширение. Однако они позволяют определить расположение *внутренних грудных лимфатических узлов*. В отличие от некоторых групп лимфатических узлов, выявляемых у здоровых людей (главным образом речь идет о паратрахеальных, аортопульмональных и бифуркационных лимфатических узлах), внутренние грудные лимфатические узлы в норме имеют недостаточно боль-

РИС. 2.3. Окончание. З. Вблизи купола диафрагмы нижняя полая вена (НПВ) представляет собой отдельную структуру, расположенную ниже правого предсердия. На изображениях данного уровня также визуализируются правый и левый желудочки сердца (ПЖ и ЛЖ соответственно)

шие размеры, для того чтобы быть обнаружеными при проведении КТ. Их наличие на изображениях следует рассматривать как следствие патологического увеличения, чаще всего связанного с раком молочной железы или лимфомой.

РЕКОМЕНДУЕМАЯ ЛИТЕРАТУРА

- Aronberg D.J., Peterson R.R., Glazer H.S., Sagel S.S. The superior sinus of the pericardium: CT appearance // Radiology. 1984. Vol. 153. P. 489–492.
- Francis I., Glazer G.M., Bookstein F.L., Gross B.H. The thymus: Reexamination of age-related changes in size and shape // AJR Am. J. Roentgenol. 1985. Vol. 145. P. 249–254.
- Glazer H.S., Aronberg D.J., Sagel S.S. Pitfalls in CT recognition of mediastinal lymphadenopathy // AJR Am. J. Roentgenol. 1985. Vol. 144. P. 267–274.
- Kiyono K., Sone S., Sakai F. et al. The number and size of normal mediastinal lymph nodes: A postmortem study // AJR Am. J. Roentgenol. 1988. Vol. 150. P. 771–776.
- Müller N.L., Webb W.R., Gamsu G. Paratracheal lymphadenopathy: Radiographic findings and correlation with CT // Radiology. 1985. Vol. 156. P. 761–765.
- Müller N.L., Webb W.R., Gamsu G. Subcarinal lymph node enlargement: Radiographic findings and CT correlation // AJR Am. J. Roentgenol. 1985. Vol. 145. P. 15–19.
- Tecce P.M., Fishman E.K., Kuhlman J.E. CT evaluation of the anterior mediastinum: Spectrum of disease // Radiographics. 1994. Vol. 14. P. 973–990.
- Zylak C.J., Pallie W., Pirani M. et al. Anatomy and computed tomography: A correlative module on the cervicothoracic junction // Radiographics. 1983. Vol. 3. P. 478–530.